РЕЗОНАНСНОЕ ГИПЕРКОМБИНАЦИОННОЕ РАССЕЯНИЕ СВЕТА НА LO-ФОНОНАХ В КРИСТАЛЛЕ GaN

Л.Е. Семенова

Институт общей физики им. А.М. Прохорова Российской академии наук, ул. Вавилова 38, 119991 Москва, Россия, sl@kapella.gpi.ru

Представлены результаты теоретического исследования резонансного гиперкомбинационного рассеяния света на LO-фононах в кристалле GaN структуры вюртцита с учетом экситонов Ванье в качестве промежуточных виртуальных состояний электронной системы. Рассмотрены различные последовательности промежуточных экситонных состояний.

Ключевые слова: гиперкомбинационное рассеяние; полупроводник; экситон.

RESONANT HYPER-RAMAN SCATTERING OF LIGHT BY LO-PHONONS IN A GaN CRYSTAL

L.E. Semenova

Prokhorov General Physics Institute of the Russian Academy of Sciences, 38 Vavilov Str., 119991 Moscow, Russia, sl@kapella.gpi.ru

The theoretical treatment of the hyper-Raman scattering (HRS) of light by LO-phonons under two-photon excitation near the absorption edge is given for a GaN crystal of the wurtzite structure. The HRS is considered for the scattering geometry z(yyz)x. The Wannier excitons are taken into account as intermediate virtual states of an electronic system. The contributions of different sequences of intermediate excitonic states to the HRS are considered.

Keywords: hyper-Raman scattering; semiconductor; exciton.

Введение

При гиперкомбинационном рассеянии (ГКР) в результате взаимодействия двух квантов возбуждающего излучения с элементарными возбуждениями среды происходит рождение одного кванта рассеянного света. Особый интерес представляет ГКР в полупроводниках при двухфотонном возбуждении вблизи края поглощения, поскольку позволяет получать информацию о механизмах рассеяния. Резонансное ГКР света на оптических фононах наблюдалось в ряде полупроводников [1-3]. В работах [4-5] было показано, что основной вклад в ГКР вносит внутризонный фрелиховский механизм рассеяния, которому соответствует последовательность промежуточных экситонных состояний *s-p-s*.

В представленной работе рассматривается резонансное ГКР света на LO-фононах в кристалле GaN структуры вюртцита для геометрии рассеяния z(yyz)x.

Теоретическая модель

При двухфотонном возбуждении вблизи края поглощения полупроводника стоксово однофононное ГКР может описываться следующей последовательностью процессов: поглощение двух фотонов возбуждающего излучения с частотой ω_L и поляризацией ϵ_L , рождение фонона с частотой ω_P и излучение фотона рассеянного света (ω_S , ϵ_S). В представленной работе рассматриваются экситоны Ванье в качестве промежуточных состояний электронной системы и внутризонный фрелиховский механизм экситон-фононного взаимодействия в приближении нулевого волнового вектора фонона.

В кристалле GaN структуры вюртцита, как известно, валентная зона ν связана с p-уровнями и в центре зоны Бриллюэна расщеплена вследствие анизотропии кристалла и спин-орбитального взаимодействия на три близко-лежащие подзоны симметрии Γ_9 , Γ_7 и Γ_7 [6-7]. Экситоны, образованные электронами с нижней зоны проводимости c и дырками с подзон Γ_9 , Γ_7 и Γ_7 относятся к экситонным сериям A, B и C, соответственно [6].

Поскольку в рассматриваемой в данной работе геометрии рассеяния z(yyz)x последовательности промежуточных экситонных состояний, относящихся к одной серии, s-p-s не вносят вклад в ГКР, стоит рассмотреть процессы, включающие двухфотонные переходы в s-экситонные состояния, которые можно описывать в рамках как двухзонной, так и трехзонной моделей [8, 9]. В первом случае этому процессу соответствует последовательность промежуточных экситонных состояний p-s-p [5], т.е. он включает слабо-запрещенные дипольные переходы в экситонные состояния p-типа, которые описываются матричными элементами [8-10]:

$$\Pi_{\Lambda 0} = \varepsilon_{\alpha} \sum_{j_{c}, j_{v}} M_{j_{c}j_{v}}^{\alpha'\alpha} \left(\hat{p}_{\alpha'} \chi_{j_{c}j_{v}}^{\lambda} (\vec{r}) \right)^{*} \Big|_{r=0} , \qquad (1)$$

где $\hat{p}_{\alpha} = -i\hbar \, \partial/\partial r_{\alpha}$, $\chi^{\lambda}_{cv}(\mathbf{r})$ — волновая функция относительного электронно-дырочного движения, j_c и j_v обозначают состояния электрона в вырожденной зоне проводимости c и дырки в вырожденной зоне валентности v, соответственно. Параметр $M^{\alpha\beta}_{cv}$ определяется соотношением [8, 10]:

$$\mathbf{M}_{\mathrm{cv}}^{\alpha\beta} = \frac{1}{m} \sum_{i} \left[\frac{\pi_{ci}^{\alpha} \pi_{iv}^{\beta}}{E_{ci}} + \frac{\pi_{ci}^{\beta} \pi_{iv}^{\alpha}}{E_{vi}} \right], \tag{2}$$

где π_{cv} – межзонный матричный элемент оператора импульса. Поскольку зонная структура кристалла известна, то с применением правил отбора можно определить ненулевые параметры $M_{cv}^{a\beta}$. Матричные элементы дипольных переходов между s- и p-экситонными состояниями имеют вид [9]:

$$\Pi_{\Lambda'\Lambda} = \varepsilon_{\alpha} \sum_{j'_{c}, j'_{v}, j_{c}, j_{v}} \left[\delta_{j_{v}j'_{v}} M_{j'_{c}j'_{c}}^{\alpha'\alpha} - \delta_{j_{c}j'_{c}} M_{j_{v}j'_{v}}^{\alpha'\alpha} \right] \times \left\langle \chi_{j'_{c}j'_{v}}^{\lambda'} \left| \hat{p}_{\alpha'} \right| \chi_{j_{c}j_{v}}^{\lambda} \right\rangle$$
(3)

В рамках трехзонной модели для двухфотонных переходов в экситоны s-типа в качестве промежуточных состояний рассматриваются s-экситоны, связанные с более глубокой зоной валентности v' или вышележащей зоной проводимости c' [9]. Таким образом, рассматриваемый процесс ГКР может описываться с помощью двухзонной и трехзонной моделей [5].

Результаты и их обсуждение

В геометрии рассеяния z(yyz)x возможны процессы ГКР, включающие двухфотонные переходы в s-экситонные состояния В и С серий. Были рассмотрены вклады трехзонной модели и последовательностей промежуточных экситонных состояний, относящихся к одной серии, p-s-p в ГКР. Поскольку расщепление между подзонами много меньше, чем ширина запрещенной зоны, можно показать, что вклады этих процессов рассеяния в сечение ГКР зависят от $C_{13} = M_{c_1 v_3}^{ZZ} * M_{c_1 v_3}^{XX}$, где предполагается, что v_3 относится к подзоне В (Γ_7).

Вследствие сложной расщепленной валентной зоны кристалла также возможны дипольные переходы между s- и p-экситонами, относящимися к разным подзонам. С учетом этих переходов в рассматриваемой геометрии рассеяния последовательность промежуточных экситонных состояний s-p-s также вносит вклад в ГКР, который зависит от параметров $\mathbf{M}_{t,t'}^{a'a}$.

Для GaN были выполнены оценки частотной зависимости сечения ГКР $d\sigma/d\Omega$ с учетом вкладов последовательностей промежуточных состояний sp-s, последовательностей промежуточных экситонных состояний одной серии *p-s-p*, и механизма рассеяния, который включает двухфотонный переход в s-экситонные состояния и описывается в рамках трехзонной модели. При этом предполагалось, что основной вклад в $\mathbf{M}_{j_{i}j_{i}}^{a'a}$ вносят члены, связанные с дипольными переходами в ближайшую разрешенную зону, которая в рассматриваемом случае является нижней зоной проводимости с. Матричные элементы межзонных дипольных переходов оценивались с помощью модели почти свободных электронов. При суммировании по промежуточным экситонным состояниям использовался метод функций Грина [5,11]. Расчеты были выполнены с учетом $\hbar\omega_P = 0.091$ эВ [12], полуширины экситонных линий $\Gamma_A = \Gamma_B = 0.006$ эВ и $\Gamma_C = 0.014$ эВ [13] и параметров кристалла, полученных в работе [6]: ширина запрещенной зоны E_{cv} =3.504 эВ; расщепление между подзонами $E_{AB} = 0.006$ эВ и $E_{BC} = 0.037$ эВ; ридберг $R_A = R_B = 0.02 \text{ } 9B$ экситонный $R_C = 0.018 \text{ } \text{3B};$ приведенная масса экситона $\mu_A = \mu_B = 0.13 m$ и $\mu_C = 0.12 m$, где m – масса электрона. При вычислении вклада трехзонной модели в ГКР в качестве промежуточных состояний рассматривались экситоны, образованные электроном с вышележащей зоны проводимости с' и дыркой с верхней валентной зоны v. При этом предполагалось, что $E_{c'v} \approx 10$ эВ [14]. В подзонах Γ_7 происходит смешивание волновых функций и1 и и5, преобразующихся по неприводимым представлениям Г1 и Г5, соответственно [7]. Для $|q_7|^2$, определяющего часть волновых функций и₁ в верхней валентной зоне Г₂, из измеренных сил осцилляторов в работе [15], было получено, что $|q_7|^2 \approx 0.28$. Поскольку параметры $\mathbf{M}_{\mathrm{cv}}^{\alpha\beta}$ неизвестны, в данной работе расчеты были выполнены для трех случаев С₁₃ = 1, 2 и 5. Результаты представлены на рис.1. Как видно из рисунка, на частотной зависимости $d\sigma/d\Omega$ небольшой пик, соответствующий двухфотонному резонансу с экситонным уровнем B_{n=1}, заметен при $C_{13} = 5$.

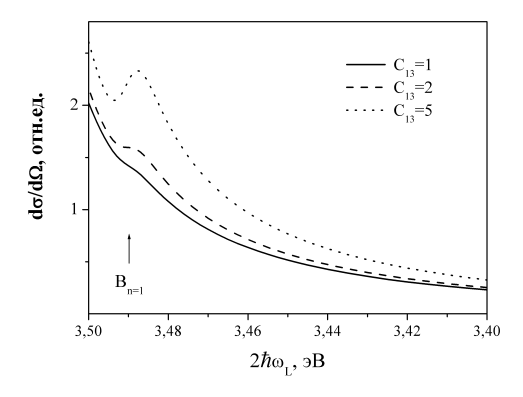


Рис. 1. Поперечное сечение ГКР света на LO-фононах в зависимости от удвоенной энергии фотонов возбуждающего излучения

Fig. 1. The cross section of the HRS of light by LO-phonons as a function of the doubled energy of photons of exciting radiation

Процесс ГКР, соответствующий последовательности промежуточных состояний *p-s-p*, также может включать дипольные переходы между экситонами, относящимися к разным подзонам. Причем, их влияние на частотную зависимость сечения процесса ГКР, включающего двухфотонные переходы на sэкситонные состояния, может оказаться заметным, т.к. вклады трехзонной модели и последовательностей промежуточных состояний одной серии p-s-p противоположны по знаку [5, 9]. Были получены выражения для вкладов в ГКР последовательностей промежуточных состояний, относящихся к разным подзонам, *p-s-p*, которые, как оказалось, зависят не только от $\mathbf{M}^{ZZ}_{c_1v_3}$ и $\mathbf{M}^{XX}_{c_1v_3}$, но и $\mathbf{M}^{ZX}_{c_1v_1}$, где v_1 относится к подзоне А (Г9). А для оценки соответствующих параметров $\mathbf{M}_{j,j',}^{\alpha'\alpha}$ в этом случае необходимо также учитывать переходы на нижележащую валентную зону v' (E_{w'≈}1.1 эВ [13]). На рис. 2 показана частотная зависимость сечения рассеяния, вычисленная для процесса ГКР, включающего двухфотонные переходы в *s*-экситонные состояния с учетом переходов между подзонами. Расчеты были выполнены для $|\mathbf{M}_{\mathsf{c},\mathsf{v}_{\mathsf{i}}}^{\mathit{XX}}| = |\mathbf{M}_{\mathsf{c},\mathsf{v}_{\mathsf{i}}}^{\mathit{XX}}|$ (кривая 1), $|\mathbf{M}_{\mathsf{c},\mathsf{v}_{\mathsf{i}}}^{\mathit{XX}}| < |\mathbf{M}_{\mathsf{c},\mathsf{v}_{\mathsf{i}}}^{\mathit{XX}}|$ (кривая 3).

На рисунке также показано сечение ГКР, при вычислении которого не учитывались переходы между экситонами, относящимися к разным подзонам (кривая 4).

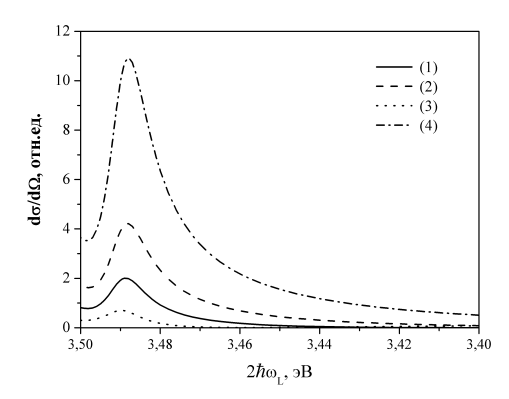


Рис. 2. Поперечное сечение ГКР, вычисленное с учетом механизма рассеяния, который включает двухфотонные переходы в *s*-экситонные состояния.

Fig. 2. The HRS cross section calculated, taking into account the scattering mechanism including the two-photon transitions to the *s*-exciton states.

Заключение

В работе представлен анализ резонансного ГКР света на LO-фононах в GaN для геометрии рассеяния z(yyz)x с учетом различных последовательностей промежуточных экситонных состояний. Показано, что процессы ГКР включающие дипольные переходы между s- и p-экситонами, связанными с разными подзонами, могут оказывать влияние на частотную зависимость сечения рассеяния.

Библиографические ссылки

- Inoue K., Yoshida K., Minami F., Kato Y. Two-photon resonant hyper-Raman scattering by optic phonons due to the 2P exciton of ZnSe. *Phys. Rev B* 1992; 45(15): 8807-8810.
- Watanabe K., Inoue K., Minami F. Resonant phenomena of hyper-Raman scattering of optic phonons in TiO₂ crystal. *Phys. Rev. B* 1992; 46(4): 2024-2033.
- Maslov V.A., Ondriash K.K., Polivanov Yu.N., Prokhorov K.A., Semenova L.E., Chuzavkov Yu.L. Observation of resonant hyper Raman scattering of light in CdS crystal using a tunable optical parametric oscillator. *Laser Physics* 1996; 6(1): 132-143.
- Garcia-Cristobal A., Cantarero A., Trallero-Giner C., Cardona M. Resonant hyper-Raman scattering in semiconductors. *Phys. Rev. B* 1998; 58(16): 10443-10451.
- Semenova L.E., Prokhorov K.A. Theoretical investigation of the resonant hyper-Raman scattering by optical phonons. Журнал экспериментальной и теоретической физики 2003; 123(5): 1048-1058.
- Chen G.D., Smith M., Lin J.Y., Jiang H.X., Wei S.-H. Khan M.A. et al. Fundamental optical transitions in GaN. Appl. Phys. Lett. 1996; 68(20): 2784-2786.
- Gutsche E., Jahne E. Spin-orbit splitting of the valence band of wurtzite type crystals. *Phys. Stat. Sol.* 1967; 19(2): 823-832.

- Mahan G.D. Theory of two-photon spectroscopy in solids. Phys. Rev. 1968; 170(3): 825-838.
- Rustagi K.C., Pradere F., Mysyrowicz A. Two-photon absorption in Cu₂O. Phys. Rev. B 1973; 8(6): 2721-2732.
- Denisov M.M., Makarov V.P. Longitudinal and transverse excitons in semiconductors. *Phys. Stat. Sol.* (b) 1973; 56(1): 9-59.
- 11. Hostler L. Coulomb Green's functions and the furry approximation. *J. Math. Phys.* 1964; 5(5): 591-611.
- Siegle H., Kaczmarczyk G., Filippidis L., Litvinchuk A.P., Hoffmann A., Thomsen C. Zone-boundary phonons in hexagonal and cubic GaN. *Phys. Rev. B* 1997; 55(11): 7000-7004.
- Tchounkeu M., Briot O., Gil B., Alexis J.P., Aulombard R. Optical properties of GaN epilayers on sapphire. *J. Appl. Phys.* 1996; 80(9): 5352-5360.
- Rubio A., Corkill J.L., Cohen M.L., Shirley E.L., Louie S.G. Quasiparticle band structure of AIN and GaN. *Phys. Rev. B* 1993; 48(16): 11810-11816.
- 15. Gil B., Alemu A. Optical anisotropy of excitons in strained GaN epilayers grown along the <1010> direction. *Phys. Rev. B* 1997; 56(19): 12446-12453.

References

- Inoue K., Yoshida K., Minami F., Kato Y. Two-photon resonant hyper-Raman scattering by optic phonons due to the 2P exciton of ZnSe. *Phys. Rev B* 1992; 45(15): 8807-8810.
- Watanabe K., Inoue K., Minami F. Resonant phenomena of hyper-Raman scattering of optic phonons in TiO₂ crystal. *Phys. Rev. B* 1992; 46(4): 2024-2033.
- Maslov V.A., Ondriash K.K., Polivanov Yu.N., Prokhorov K.A., Semenova L.E., Chuzavkov Yu.L. Observation of resonant hyper Raman scattering of light in CdS crystal using a tunable optical parametric oscillator. *Laser Physics* 1996; 6(1): 132-143.
- Garcia-Cristobal A., Cantarero A., Trallero-Giner C., Cardona M. Resonant hyper-Raman scattering in semiconductors. *Phys. Rev. B* 1998; 58(16): 10443-10451.
- Semenova L.E., Prokhorov K.A. Theoretical investigation of the resonant hyper-Raman scattering by optical phonons. *JETP* 2003; 96(5): 922-931.
- Chen G.D., Smith M., Lin J.Y., Jiang H.X., Wei S.-H. Khan M.A. et al. Fundamental optical transitions in GaN. *Appl. Phys. Lett.* 1996; 68(20): 2784-2786.
- Gutsche E., Jahne E. Spin-orbit splitting of the valence band of wurtzite type crystals. *Phys. Stat. Sol.* 1967; 19(2): 823-832.
- Mahan G.D. Theory of two-photon spectroscopy in solids. Phys. Rev. 1968; 170(3): 825-838.
- Rustagi K.C., Pradere F., Mysyrowicz A. Two-photon absorption in Cu₂O. Phys. Rev. B 1973; 8(6): 2721-2732.
- Denisov M.M., Makarov V.P. Longitudinal and transverse excitons in semiconductors. *Phys. Stat. Sol.* (b) 1973; 56(1): 9-59.
- 11. Hostler L. Coulomb Green's functions and the furry approximation. *J. Math. Phys.* 1964; 5(5): 591-611.
- Siegle H., Kaczmarczyk G., Filippidis L., Litvinchuk A.P., Hoffmann A., Thomsen C. Zone-boundary phonons in hexagonal and cubic GaN. *Phys. Rev. B* 1997; 55(11): 7000-7004.
- Tchounkeu M., Briot O., Gil B., Alexis J.P., Aulombard R.-L. Optical properties of GaN epilayers on sapphire. *J. Appl. Phys.* 1996; 80(9): 5352-5360.
- 14. Rubio A., Corkill J.L., Cohen M.L., Shirley E.L., Louie S.G. Quasiparticle band structure of AlN and GaN. *Phys. Rev. B* 1993; 48(16): 11810-11816.
- 15. Gil B., Alemu A. Optical anisotropy of excitons in strained GaN epilayers grown along the <1010> direction. *Phys. Rev. B* 1997; 56(19): 12446-12453.